



## ΕΔΑΦΟΜΗΧΑΝΙΚΗ II

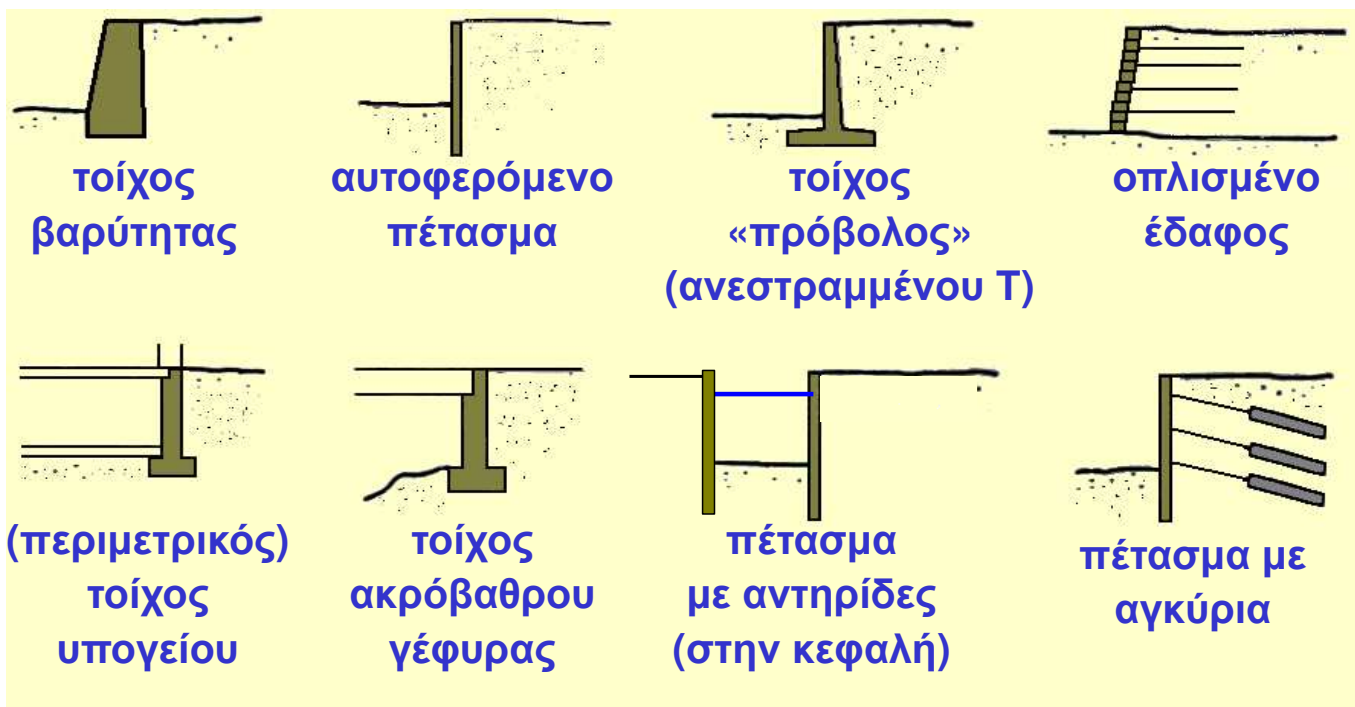
### Τμήμα Α-Λ

#### 2. Ωθήσεις γαιών και τοίχοι αντιστήριξης (βαρύτητας)

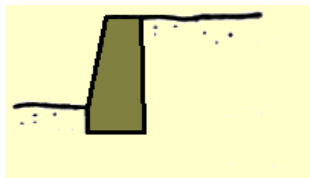
Μέρος Α

Ακλόνητος τοίχος - Γεωστατικές συνθήκες  
Μετακινούμενος τοίχος - Αστοχία κατά Rankine

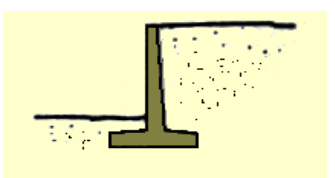
#### Συνήθεις Τύποι Συστημάτων Αντιστηρίξεως



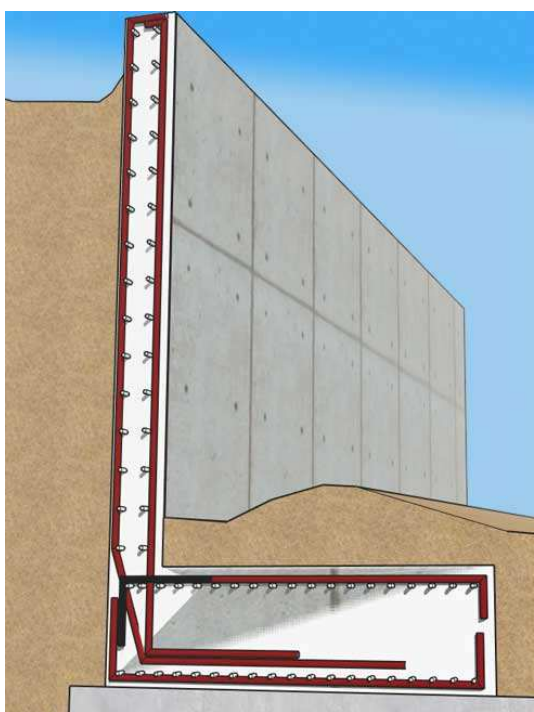
**πέτασμα** = πασσαλοσανίδες ή πασσαλότοιχος ή διάφραγμα

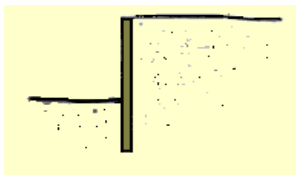


τοίχος  
βαρύτητας

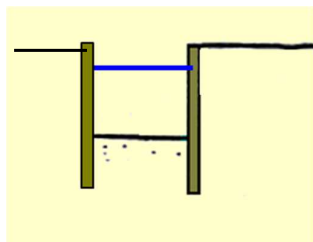


τοίχος  
«πρόβολος»  
(ανεστραμμένου Τ ή τύπου L)

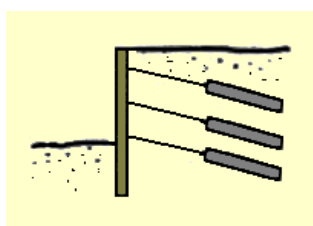




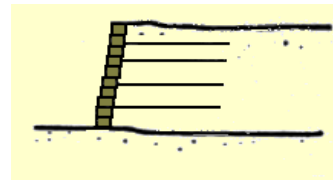
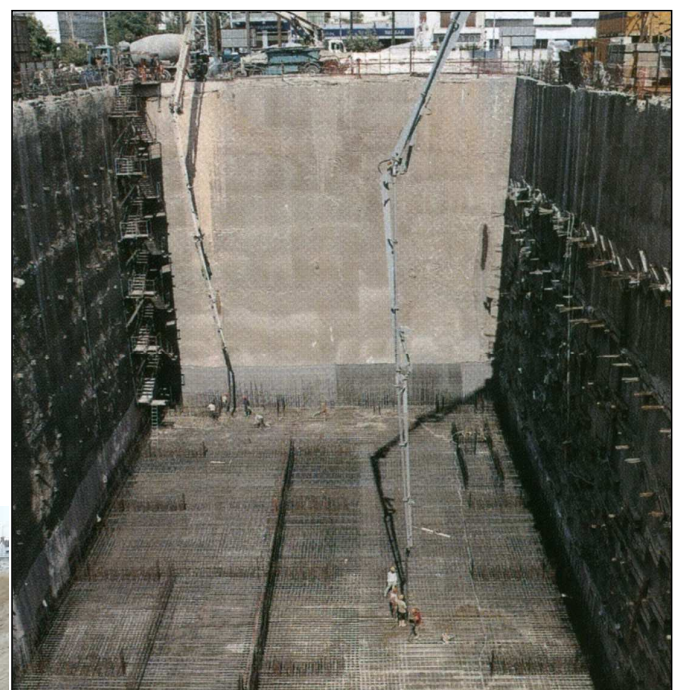
αυτοφερόμενο  
πέτασμα



πέτασμα  
με αντηρίδες  
(στην κεφαλή)

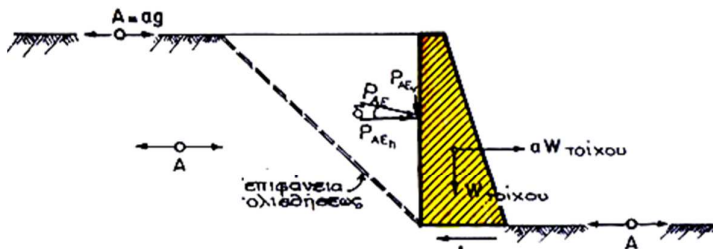


πέτασμα με  
αγκύρια

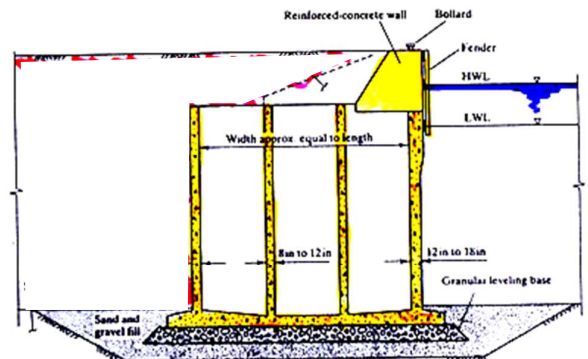


οπλισμένο  
έδαφος

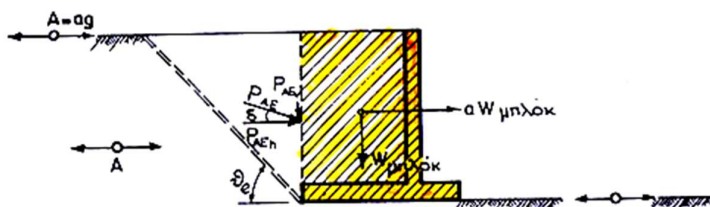
# Συνήθεις τύποι τοίχων βαρύτητας



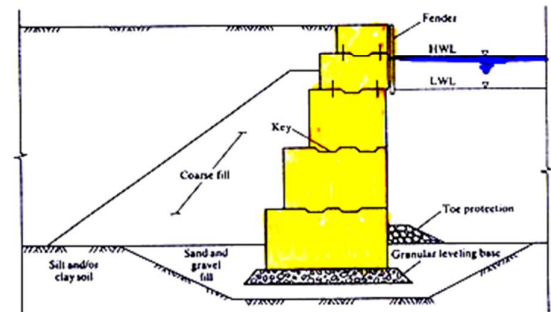
άοπλο (ή ελαφρώς οπλισμένο) σκυρόδεμα



κρηπιδότοιχοι (λιμενικά έργα)



οπλισμένο σκυρόδεμα – τοίχος πρόβολος



... η αντίσταση προέρχεται από το βάρος (μάζα) του τοίχου

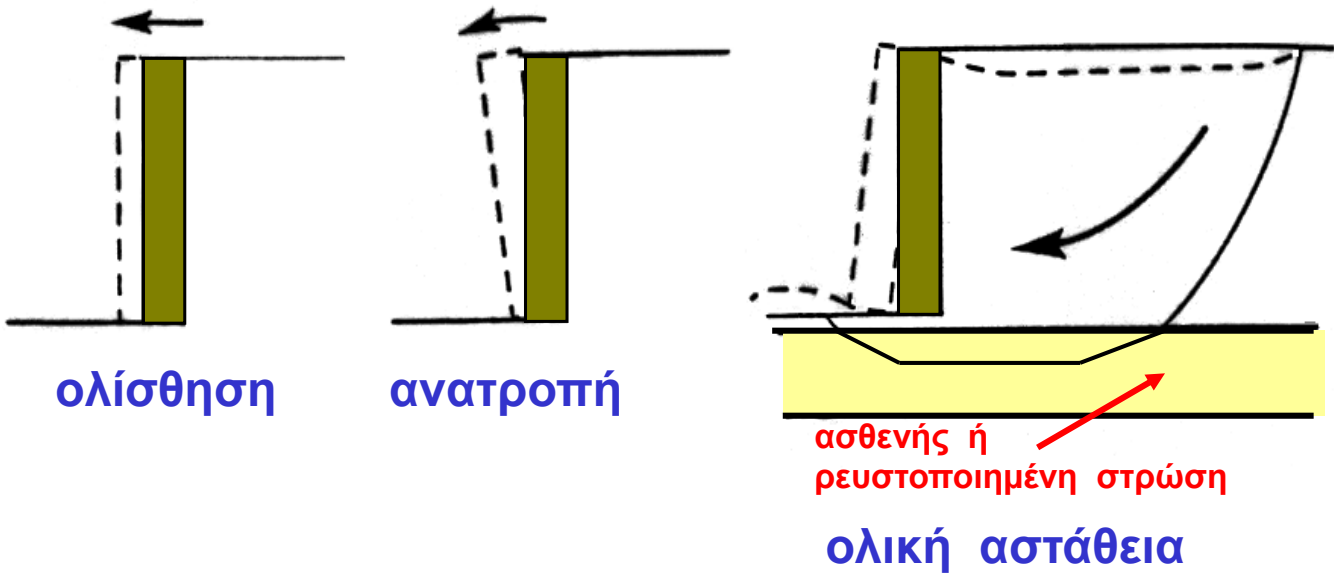


# ανατροπή

# overturning

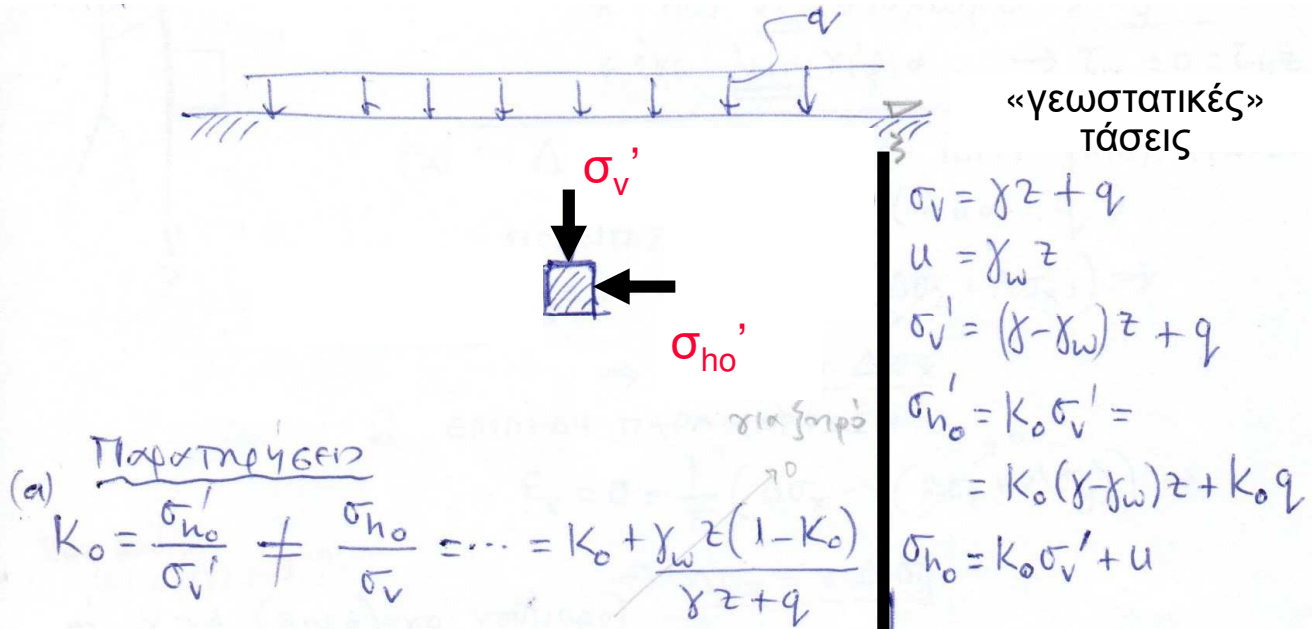


## Μορφές Αστοχίας Τοίχων ΒΑΡΥΤΗΤΑΣ



**Αίτιο Αστοχίας: ΩΘΗΣΕΙΣ ΓΑΙΩΝ**

# Αρχικώς... «γεωστατικές» συνθήκες



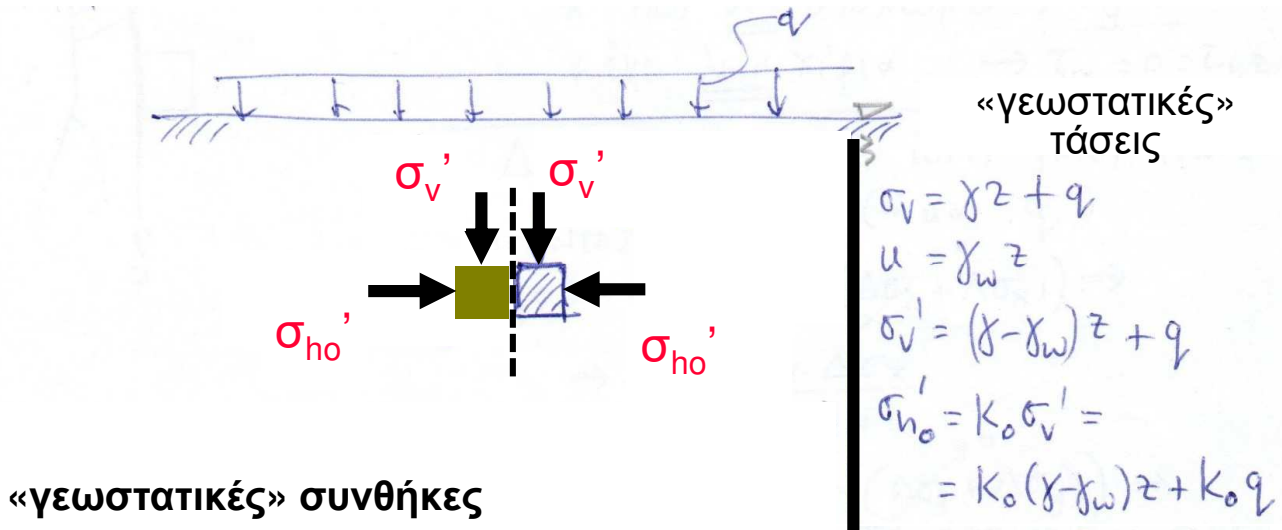
... δηλαδή το  $K_o$  είναι λόγος ενεργών και ΌΧΙ λόγος ολικών τάσεων

Υπενθυμίζεται ότι  $K_o = v/(1-v)$  με βάση την ελαστικότητα (π.χ. για  $v=1/3 \rightarrow K_o = 0.5$ )

Χρήσιμη εμπειρική σχέση:  $K_o = 1 - \sin\phi'$  για άμμους (π.χ. για  $\phi' = 30^\circ \rightarrow K_o = 0.5$ )

$$K_o = (0.95 - \sin\phi')OCR^{\sin\phi'} \text{ για αργίλους}$$

# Αρχικώς... «γεωστατικές» συνθήκες



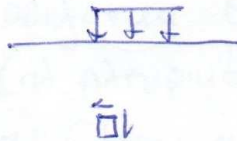
↔ μηδενική οριζόντια ορδή παραμόρφων ( $\epsilon_h = 0$ )

↔  $\tau_{vh} = 0$  σε οριζόντιο/νοτιαιόρυγχο επίπεδο ( $\sigma_{ho}$  και  $\sigma_v$  είναι κύριες τάσεις)

Άρα οχι γεωστατικές:



μη-οριζόντια  
επιφάνεια



μη-ομοιόμορφη  
επιφάνεια

# Αρχικώς... «γεωστατικές» συνθήκες



Χάριν απλότητας, ξηρό οριζόντιο αφόρτιστο ( $q=0$ ) έδαφος

$$\text{Σε βάθος } z: \sigma_v = \gamma z, \sigma_{ho} = K_0 \gamma z$$

Αντικαθιστώ το έδαφος αριστερά από το κατακόρυφο επίπεδο  $xz$ , με... γίγαντα, που:

- Δεν υποχωρεί ( $\epsilon_y = 0$ )
- Έχει λεία χέρια ( $\tau_{yx} = \tau_{yz} = 0$ )

$$\alpha) \Delta\sigma_z = ? \quad \text{ίδιες γαίες (και } q) \text{ άνωθεν } \Delta\sigma_z = 0$$

$$\beta) \Delta\sigma_y = ? \quad \text{λόγω γίγαντα: } \epsilon_y = 0 = [\Delta\sigma_y - v(\Delta\sigma_x + \Delta\sigma_z)]/E \rightarrow \Delta\sigma_y = v\Delta\sigma_x$$

$$\gamma) \Delta\sigma_x = ? \quad \text{λόγω επίπεδης παραμόρφωσης: } \tau_{xz}^0 = \tau_{xy}^0 = 0 \quad \epsilon_x = 0 = [\Delta\sigma_x - v(\Delta\sigma_y + \Delta\sigma_z)]/E \rightarrow \Delta\sigma_x = v\Delta\sigma_y$$

Τα (β) και (γ) ισχύουν αν  $v=1$  ή αν  $\Delta\sigma_x = \Delta\sigma_y = 0$

Άρα το έδαφος **ΔΕΝ** κατάλαβε τον... γίγαντα → «γεωστατικές συνθήκες»

## Αν ο γίγαντας υποχωρήσει... λίγο



Ο γίγαντας:

- Υποχωρεί ( $\epsilon_y = -\alpha < 0$ )
- Έχει λεία χέρια ( $\tau_{yx} = \tau_{yz} = 0$ )

$$\alpha) \Delta\sigma_z = ? \quad \text{ίδιες γαίες (και } q) \text{ άνωθεν } \Delta\sigma_z = 0$$

$$\beta) \Delta\sigma_y = ? \quad \text{λόγω γίγαντα: } \epsilon_y = -\alpha = [\Delta\sigma_y - v(\Delta\sigma_x + \Delta\sigma_z)]/E = [\Delta\sigma_y - v\Delta\sigma_x]/E$$

$$\gamma) \Delta\sigma_x = ?$$

$$\text{λόγω επίπεδης παραμόρφωσης: } \tau_{xz}^0 = \tau_{xy}^0 = 0$$

$$\epsilon_x = 0 = [\Delta\sigma_x - v(\Delta\sigma_y + \Delta\sigma_z)]/E \rightarrow \Delta\sigma_x = v\Delta\sigma_y$$

$$(\beta) \text{ μέσω (γ)} \quad \epsilon_y = -\alpha = \Delta\sigma_y(1-v^2)/E \rightarrow \Delta\sigma_y = -\alpha E/(1-v^2) < 0$$

Άρα έχουμε:

$$\rightarrow \Delta\sigma_x = -\alpha v E/(1-v^2) < 0$$

- **ΜΕΙΩΣΗ** οριζοντίων τάσεων, πιο έντονα στη διεύθυνση  $y$ ,
- **ΣΤΑΘΕΡΗ**  $\sigma_v$

Άρα το έδαφος **κατάλαβε τον... γίγαντα** → **όχι πια «γεωστατικές συνθήκες»**

# Αν ο γίγαντας υποχωρήσει... λίγο



**ΤΑΣΕΙΣ**

$$\sigma_v = \text{σταθ}$$

$$\sigma_y \neq \sigma_x$$

αρχικά  
τελικά

$$\sigma_v = \gamma z = \sigma_{zo} \quad \sigma_{ho} = K_o \gamma z = \sigma_{xo} = \sigma_{yo}$$

$$\sigma_z = \sigma_{zo} + \Delta \sigma_z = \sigma_v$$

$$\sigma_y = \sigma_{yo} + \Delta \sigma_y = K_o \sigma_v - \alpha E / (1 - v^2) < \sigma_{ho}$$

$$\sigma_x = \sigma_{xo} + \Delta \sigma_x = K_o \sigma_v - \alpha v E / (1 - v^2) < \sigma_{ho}$$

$$\sigma_z > \sigma_x > \sigma_y \quad \Delta \sigma_y \text{ (και } \Delta \sigma_x) \text{ εξαρτώνται από}$$

- έδαφος ( $E, v$ )

- μετατόπιση γίγαντα ( $\alpha$ )

$$\tau_{xy} = \tau_{xz} = 0 \text{ (επίπεδη παραμόρφωση)}$$

**ΠΑΡΑΜΟΡΦΩΣΕΙΣ**

$$\gamma_{ij} = 0, \text{ καθώς } \tau_{ij} = 0 \text{ (} i \neq j \text{)}$$

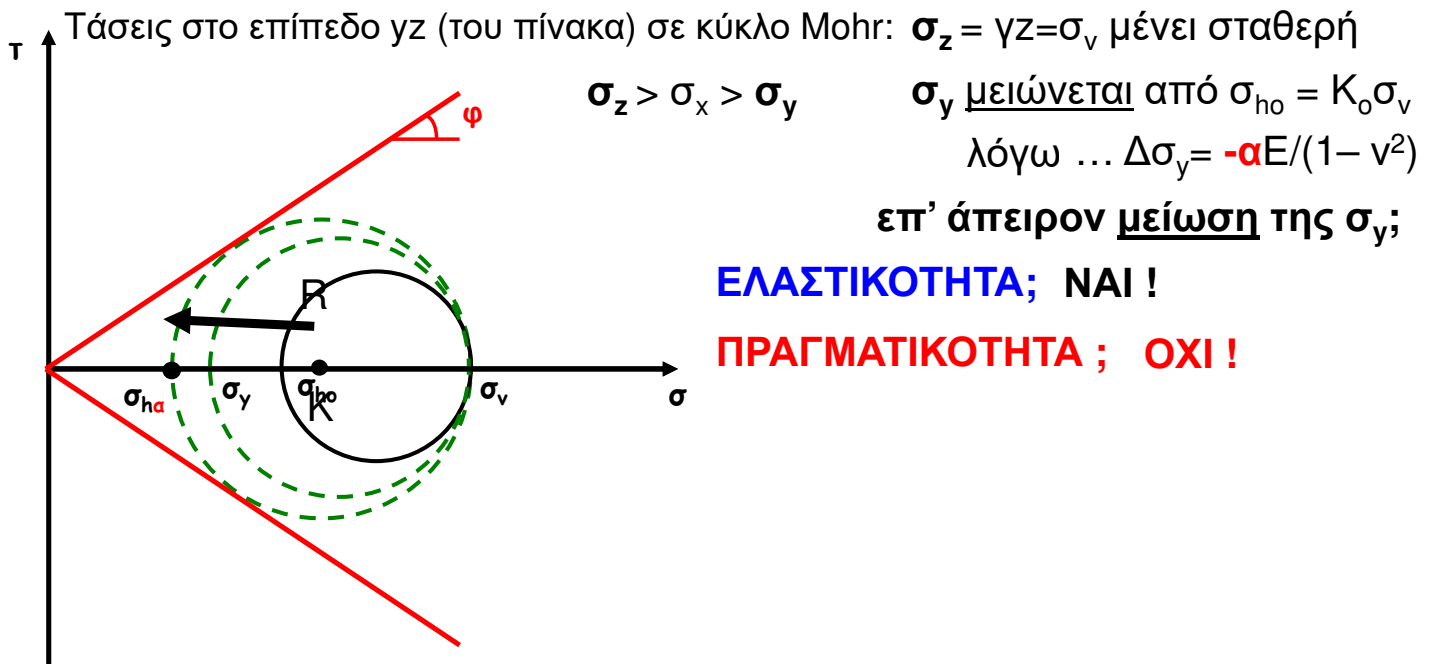
$$\epsilon_y = -\alpha < 0 \text{ (οριζόντια εξάπλωση, «εφελκυσμός» κατά } y \text{)}$$

$$\epsilon_x = 0 \text{ (επίπεδη παραμόρφωση)}$$

(καθίζηση κατά  $z$ )

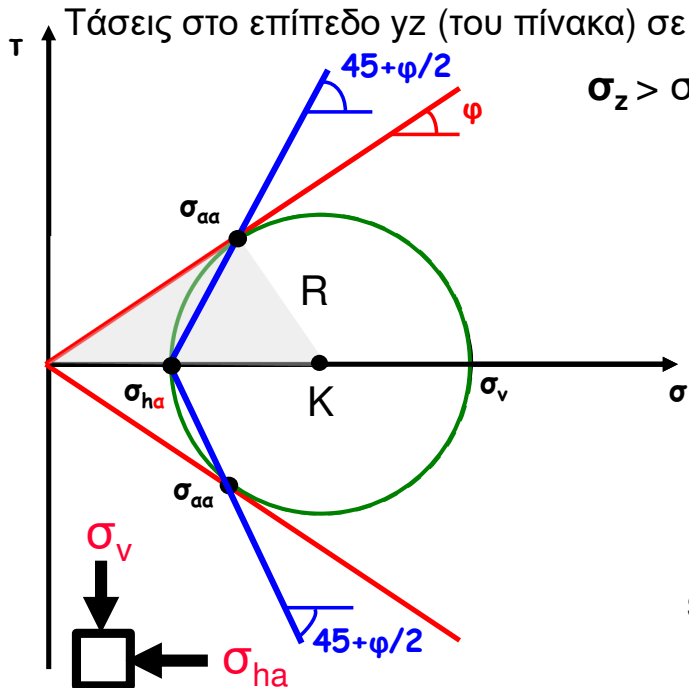
$$\epsilon_z = [\Delta \sigma_z - v(\Delta \sigma_x + \Delta \sigma_y)]/E = \dots = v\alpha E / (1-v) > 0$$

# Αν ο γίγαντας υποχωρήσει... λίγο



Δείτε την εξέλιξη των κύκλων Mohr μέχρι την αστοχία  
(όπου ο κύκλος εφάπτεται της περιβάλλουσας Mohr-Coulomb)

# Αν ο γίγαντας υποχωρήσει... λίγο



$$\sigma_z > \sigma_x > \sigma_y \quad \sigma_y \text{ μειώνεται από } \sigma_{ho} = K_o \sigma_v$$

λόγω ...  $\Delta \sigma_y = -\alpha E / (1 - v^2)$

επ' άπειρον μείωση της  $\sigma_y$ ;

**ΕΛΑΣΤΙΚΟΤΗΤΑ; ΝΑΙ !**

**ΠΡΑΓΜΑΤΙΚΟΤΗΤΑ ; ΟΧΙ !**

**ΕΝΕΡΓΗΤΙΚΗ ΑΣΤΟΧΙΑ** κατά Rankine

(active failure):  $\min \sigma_y = \sigma_{ha}$

$$\sin \varphi = \frac{R}{K} = \frac{(\sigma_v - \sigma_{ha})/2}{(\sigma_v + \sigma_{ha})/2} \rightarrow$$

$$\sigma_{ha} = \frac{1 - \sin \varphi}{1 + \sin \varphi} \sigma_v = K_a \sigma_v < K_o \sigma_v$$

$$K_a = \frac{1 - \sin \varphi}{1 + \sin \varphi} = \tan^2 (45 - \varphi/2)$$

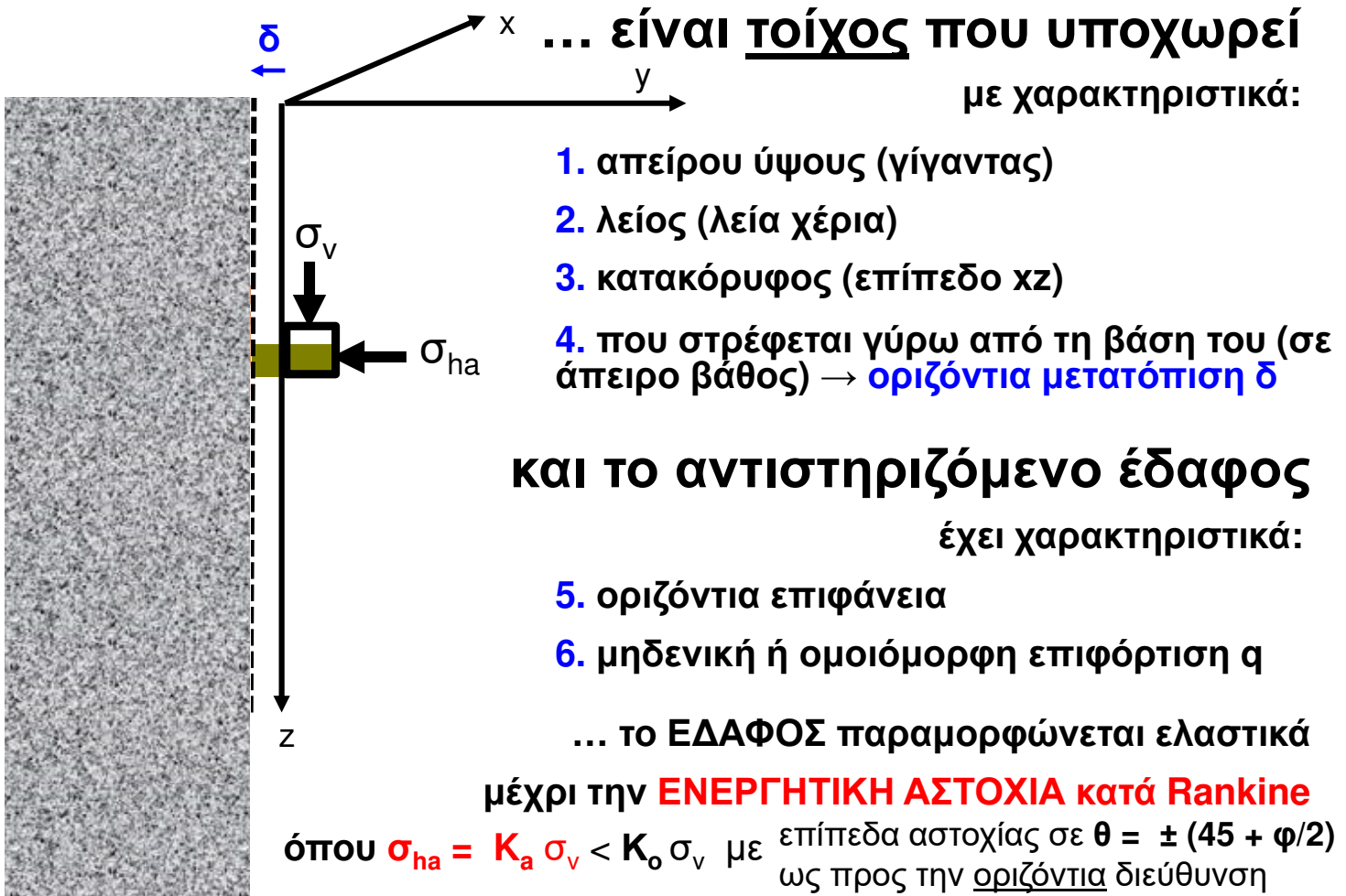
Φέρνω οριζόντια ευθεία από  $(\sigma_v, 0)$

Πόλος  $O_p$  στο  $(\sigma_{ha}, 0)$

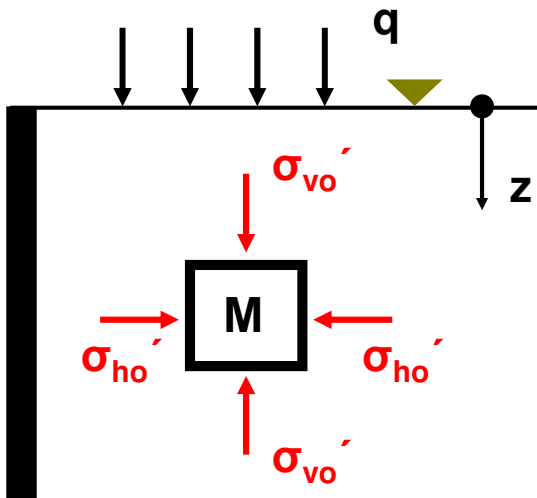
Επίπεδα αστοχίας σε  $\theta = (45 + \varphi/2)$   
ως προς την οριζόντια διεύθυνση

**ΠΡΟΣΟΧΗ:**  $K_a = \sigma'_{ha} / \sigma'_{v'} \neq \sigma_{ha} / \sigma_v$ , π.χ.  $\varphi' = 30^\circ \rightarrow K_a = 0.33$  vs.  $K_o = 0.5$

## Αν ο γίγαντας που υποχωρεί....



# Αρχικώς... «γεωστατικές» συνθήκες κατάσταση $K_o$ --- ακλόνητος τοίχος

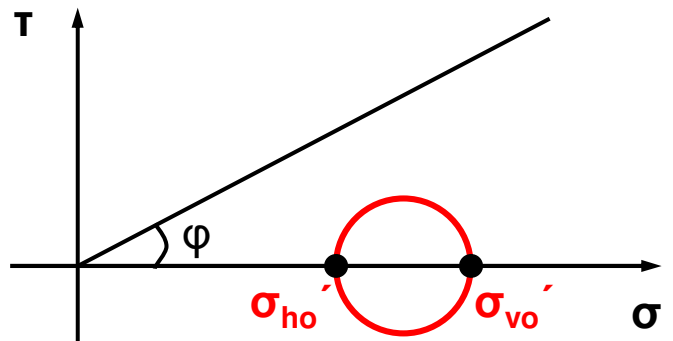


$$\sigma_{vo}' = q + \gamma' z = q + (\gamma - \gamma_w) z$$

$$\sigma_{ho}' = K_o \sigma_{vo}' = K_o (q + \gamma' z)$$

Κύκλος Mohr

(στο επίπεδο  $yz$ )



$$K_o = 1 - \sin\varphi \quad (\text{άμμοι})$$

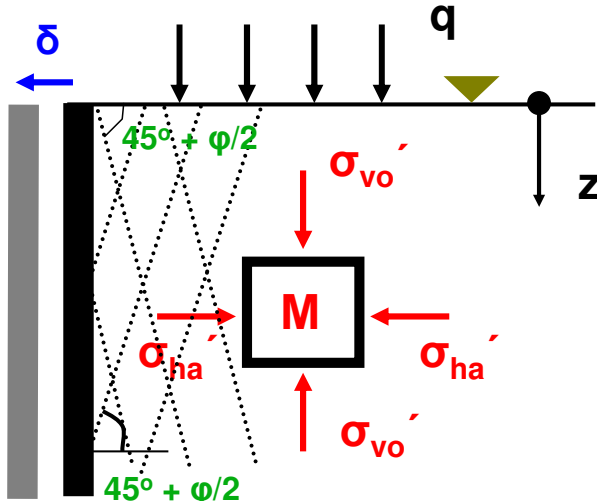
$$K_o = (0.95 - \sin\varphi) OCR^{\sin\varphi} \quad (\text{άργιλοι})$$

$$K_o = v/(1-v) \quad (\text{ελαστικότητα})$$

## Αν ισχύουν οι 6 προϋποθέσεις Rankine (1857)

κατάσταση  $K_a$  --- τοίχος προς τα «έξω» (κατά δ)

Κατάσταση ΕΝΕΡΓΗΤΙΚΗΣ ΑΣΤΟΧΙΑΣ (ACTIVE FAILURE) κατά Rankine

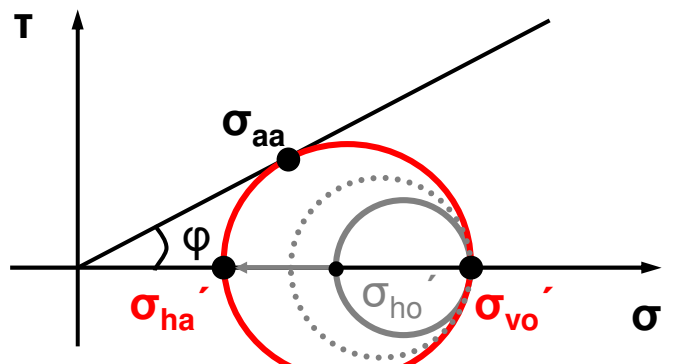


$$\sigma_{vo}' = q + \gamma' z = q + (\gamma - \gamma_w) z$$

$$\sigma_{ha}' = K_a \sigma_{vo}' = K_a (q + \gamma' z)$$

Κύκλος Mohr

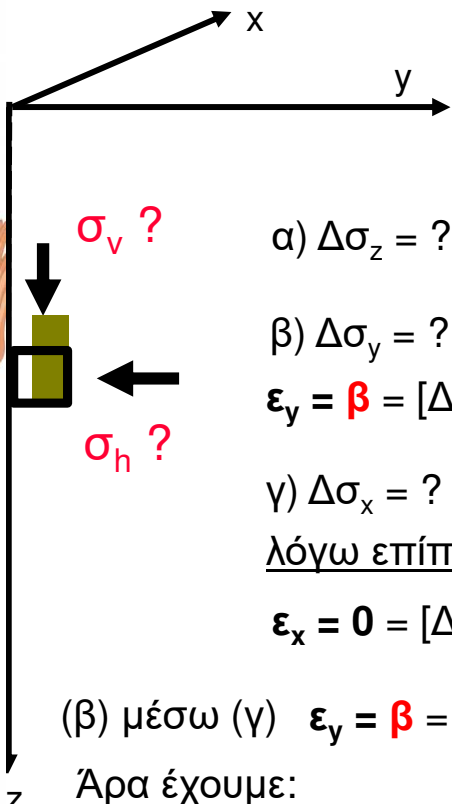
(στο επίπεδο  $yz$ )



$$K_a = \tan^2(45^\circ - \varphi/2) =$$

$$= (1 - \sin\varphi)/(1 + \sin\varphi)$$

# Αν ο γίγαντας προχωρήσει... λίγο



Ο γίγαντας:

- Προχωρεί ( $\varepsilon_y = \beta > 0$ )
- Έχει λεία χέρια ( $\tau_{yx} = \tau_{yz} = 0$ )

α)  $\Delta\sigma_z = ?$  ίδιες γαίες (και  $\eta$ ) άνωθεν  $\Delta\sigma_z = 0$

β)  $\Delta\sigma_y = ?$  λόγω γίγαντα: 0

$$\varepsilon_y = \beta = [\Delta\sigma_y - \eta(\Delta\sigma_x + \Delta\sigma_z)]/E = [\Delta\sigma_y - \eta\Delta\sigma_x]/E$$

γ)  $\Delta\sigma_x = ?$

λόγω επίπεδης παραμόρφωσής:  $\tau_{xz} = \tau_{xy} = 0$

$$\varepsilon_x = 0 = [\Delta\sigma_x - \eta(\Delta\sigma_y + \Delta\sigma_z)]/E \rightarrow \Delta\sigma_x = \eta\Delta\sigma_y$$

$$(\beta) μέσω (\gamma) \quad \varepsilon_y = \beta = \Delta\sigma_y(1 - \eta^2)/E \rightarrow \Delta\sigma_y = \beta E/(1 - \eta^2) > 0$$

Άρα έχουμε:

$$\rightarrow \Delta\sigma_x = \beta\eta E/(1 - \eta^2) > 0$$

- **ΑΥΞΗΣΗ** οριζοντίων τάσεων, πιο έντονα στη διεύθυνση  $y$ ,

- **ΣΤΑΘΕΡΗ**  $\sigma_v$

Άρα το έδαφος **κατάλαβε τον... γίγαντα** → **όχι πια «γεωστατικές συνθήκες»**

# Αν ο γίγαντας προχωρήσει... λίγο



Ο γίγαντας:

- Προχωρεί/σπρώχνει ( $\varepsilon_y = \beta > 0$ )
- Έχει λεία χέρια ( $\tau_{yx} = \tau_{yz} = 0$ )

$$\sigma_v = \gamma z = \sigma_{zo} \quad \sigma_{ho} = K_0 \gamma z = \sigma_{xo} = \sigma_{yo}$$

$$\sigma_z = \sigma_{zo} + \Delta\sigma_z = \sigma_v$$

$$\sigma_y = \sigma_{yo} + \Delta\sigma_y = K_0 \sigma_v + \beta E/(1 - \eta^2) > \sigma_{ho}$$

$$\sigma_x = \sigma_{xo} + \Delta\sigma_x = K_0 \sigma_v + \beta \eta E/(1 - \eta^2) > \sigma_{ho}$$

**Αν  $\beta$  αρκετά μεγάλο**  $\Delta\sigma_y$  (και  $\Delta\sigma_x$ ) εξαρτώνται από

- έδαφος ( $E, \eta$ )
- μετατόπιση γίγαντα ( $\beta$ )

$\tau_{xy} = \tau_{xz} = 0$  (επίπεδη παραμόρφωση)

## ΠΑΡΑΜΟΡΦΩΣΕΙΣ

$\gamma_{ij} = 0$ , καθώς  $\tau_{ij} = 0$  ( $i \neq j$ )

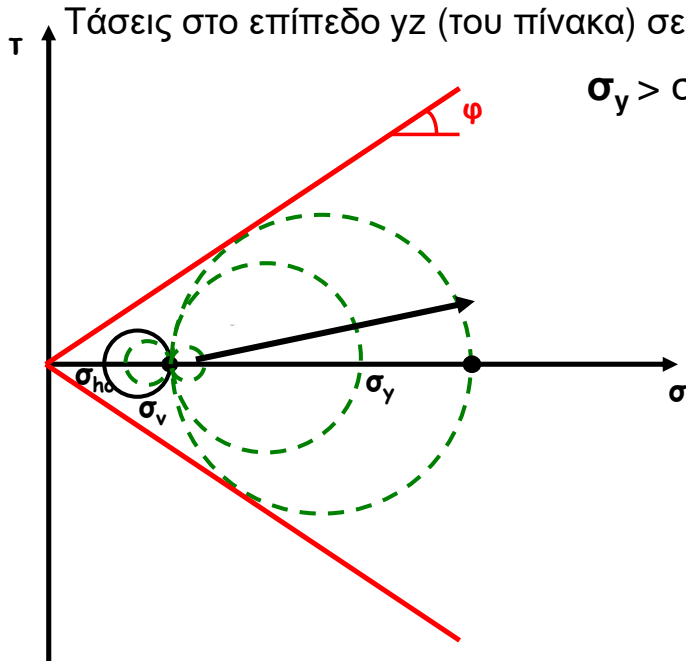
$\varepsilon_y = \beta > 0$  (συμπίεση κατά  $y$ )

$\varepsilon_x = 0$  (επίπεδη παραμόρφωση)

(ανύψωση κατά  $z$ )

$$\varepsilon_z = [\Delta\sigma_z - \eta(\Delta\sigma_x + \Delta\sigma_y)]/E = \dots = -\eta\beta E/(1 - \eta^2) < 0$$

# Αν ο γίγαντας προχωρήσει... λίγο



$$\sigma_z = \gamma z = \sigma_v \text{ μένει σταθερή}$$

$$\sigma_y \text{ αυξάνεται από } \sigma_{ho} = K_o \sigma_v$$

λόγω ...  $\Delta \sigma_y = \beta E / (1 - v^2)$

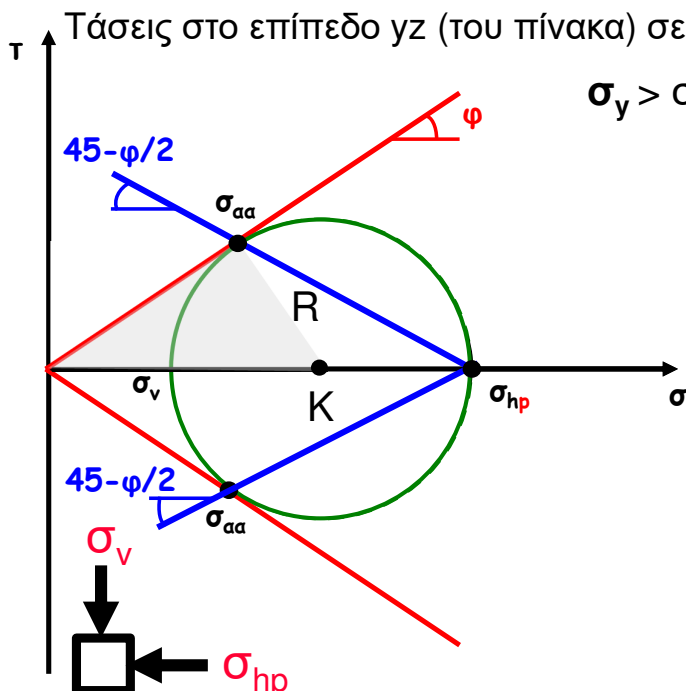
επ' άπειρον αύξηση της  $\sigma_y$ ;

**ΕΛΑΣΤΙΚΟΤΗΤΑ; ΝΑΙ !**

**ΠΡΑΓΜΑΤΙΚΟΤΗΤΑ ; ΟΧΙ !**

Δείτε την εξέλιξη των κύκλων Mohr μέχρι την αστοχία  
(όπου ο κύκλος εφάπτεται της περιβάλλουσας Mohr-Coulomb)

# Αν ο γίγαντας προχωρήσει... λίγο



$$\text{Tάσεις στο επίπεδο } \gamma z \text{ (του πίνακα) σε κύκλο Mohr: } \sigma_z = \gamma z = \sigma_v \text{ μένει σταθερή}$$

$$\sigma_y > \sigma_x > \sigma_z$$

$$\sigma_y \text{ αυξάνεται από } \sigma_{ho} = K_o \sigma_v$$

λόγω ...  $\Delta \sigma_y = \beta E / (1 - v^2)$

επ' άπειρον αύξηση της  $\sigma_y$ ;

**ΕΛΑΣΤΙΚΟΤΗΤΑ; ΝΑΙ !**

**ΠΡΑΓΜΑΤΙΚΟΤΗΤΑ ; ΟΧΙ !**

**ΠΑΘΗΤΙΚΗ ΑΣΤΟΧΙΑ** κατά Rankine  
(passive failure):  $\max \sigma_y = \sigma_{hp}$

$$\sin \varphi = \frac{R}{K} = \frac{(\sigma_{hp} - \sigma_v)/2}{(\sigma_{hp} + \sigma_v)/2} \rightarrow$$

$$\sigma_{hp} = \frac{1 + \sin \varphi}{1 - \sin \varphi} \sigma_v = K_p \sigma_v \gg \sigma_v > K_o \sigma_v$$

Φέρνω οριζόντια ευθεία από  $(\sigma_v, 0)$

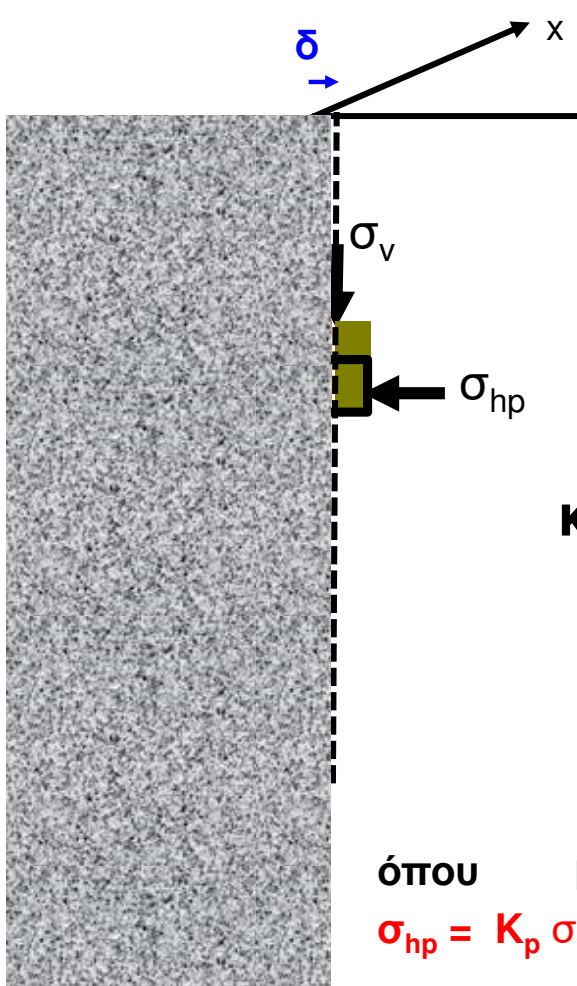
Πόλος  $O_p$  στο  $(\sigma_{hp}, 0)$

Επίπεδα αστοχίας σε  $\theta = (45 - \varphi/2)$   
ως προς την οριζόντια διεύθυνση

$$K_p = \frac{1 + \sin \varphi}{1 - \sin \varphi} = \frac{1}{K_a} = \tan^2 (45 + \varphi/2)$$

**ΠΡΟΣΟΧΗ:**  $K_p = \sigma'_{hp} / \sigma'_v \neq \sigma_{hp} / \sigma_v$ , π.χ.  $\varphi' = 30^\circ \rightarrow K_p = 3$  vs.  $K_o = 0.5$

# Αν ο γίγαντας που προχωρεί....



... είναι τοίχος που προχωρεί με χαρακτηριστικά:

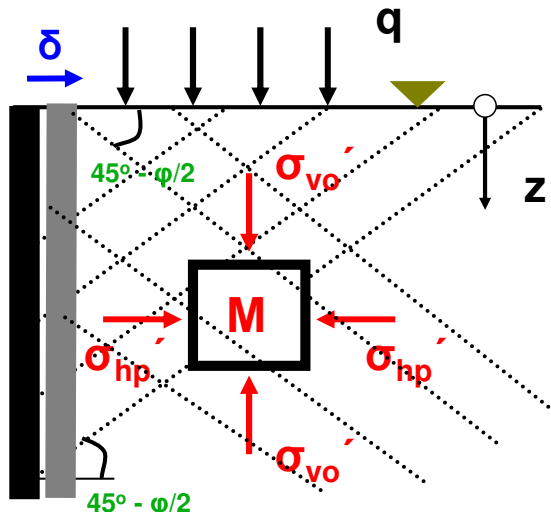
1. απείρου ύψους (γίγαντας)
2. λείος (λεία χέρια)
3. κατακόρυφος (επίπεδο xz)
4. που στρέφεται γύρω από τη βάση του (σε άπειρο βάθος) → **οριζόντια μετατόπιση δ**

**και το αντιστηριζόμενο έδαφος**  
έχει χαρακτηριστικά:

5. οριζόντια επιφάνεια
6. μηδενική ή ομοιόμορφη επιφόρτιση q

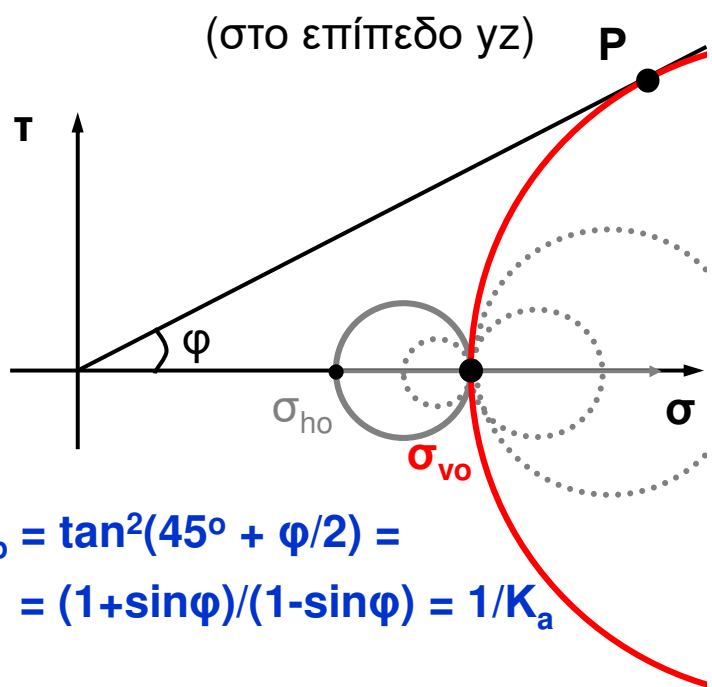
... το ΕΔΑΦΟΣ παραμορφώνεται ελαστικά  
όπου μέχρι την **ΠΑΘΗΤΙΚΗ ΑΣΤΟΧΙΑ** κατά Rankine  
 $\sigma_{hp} = K_p \sigma_v >> K_o \sigma_v$  με επίπεδα αστοχίας σε  $\theta = \pm (45 - \phi/2)$   
ως προς την οριζόντια διεύθυνση

**Αν ισχύουν οι 6 προϋποθέσεις Rankine (1857)  
κατάσταση  $K_p$  --- τοίχος προς τα «μέσα» (κατά δ)  
Κατάσταση ΠΑΘΗΤΙΚΗΣ ΑΣΤΟΧΙΑΣ (PASSIVE FAILURE) κατά Rankine**



$$\begin{aligned}\sigma_{vo}' &= q + \gamma' z = q + (\gamma - \gamma_w) z \\ \sigma_{hp}' &= K_p \sigma_{vo}' = K_p (q + \gamma' z)\end{aligned}$$

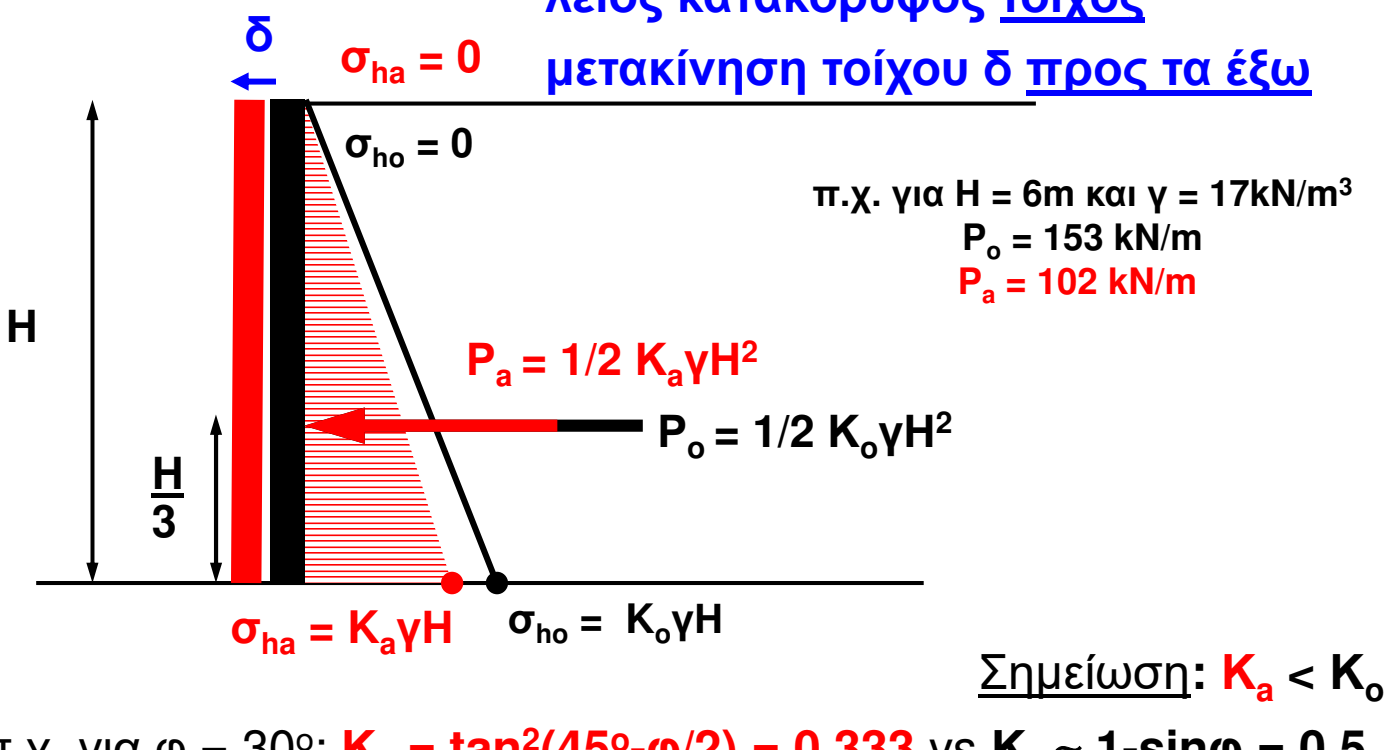
Κύκλος Mohr



$$\begin{aligned}K_p &= \tan^2(45^\circ + \phi/2) = \\ &= (1+\sin\phi)/(1-\sin\phi) = 1/K_a\end{aligned}$$

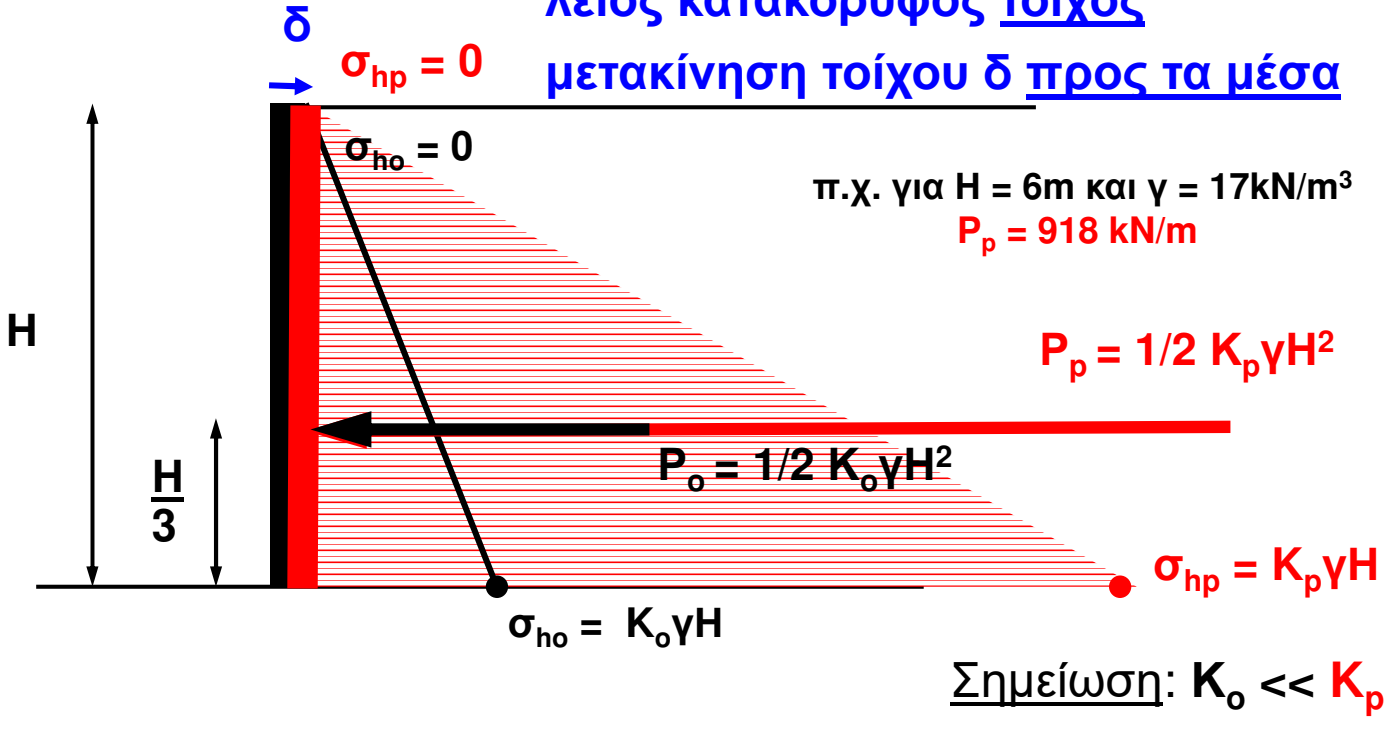
## ΠΑΡΑΤΗΡΗΣΕΙΣ

- 1. Πόσο μεγάλες είναι οι ωθήσεις γαιών επί ενός τοίχου;**  
**(ξηρό) οριζόντιο αφόρτιστο έδαφος**  
**λείος κατακόρυφος τοίχος**  
**μετακίνηση τοίχου δ προς τα έξω**



## ΠΑΡΑΤΗΡΗΣΕΙΣ

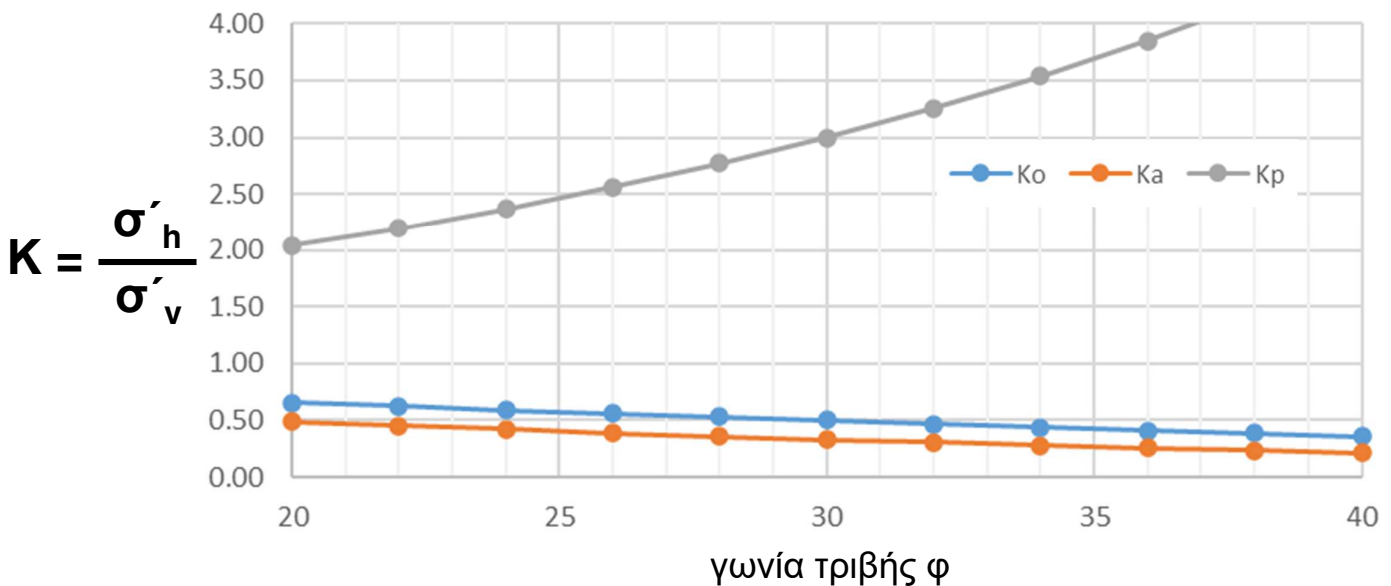
- 1. Πόσο μεγάλες είναι οι ωθήσεις γαιών επί ενός τοίχου;**  
**(ξηρό) οριζόντιο αφόρτιστο έδαφος**  
**λείος κατακόρυφος τοίχος**  
**μετακίνηση τοίχου δ προς τα μέσα**



## ΠΑΡΑΤΗΡΗΣΕΙΣ

### 1. Πόσο μεγάλες είναι οι ωθήσεις γαιών επί ενός τοίχου;

Συντελεστές οριζοντίων ωθήσεων  $K$



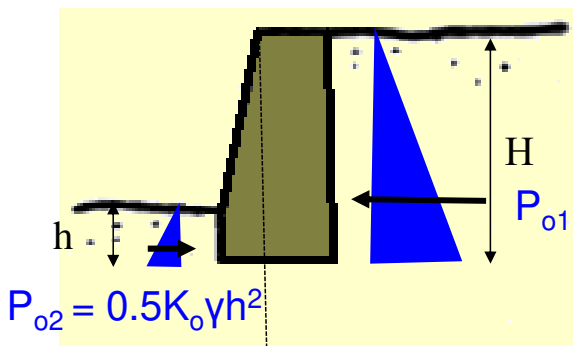
... όσο ισχυρότερο το έδαφος:

- (α) τόσο λιγότερο ωθεί τον τοίχο που στέκεται ή υποχωρεί...
- (β) τόσο περισσότερο αντιστέκεται στον τοίχο που προχωρεί...

## ΠΑΡΑΤΗΡΗΣΕΙΣ

### 1. Πόσο μεγάλες είναι οι ωθήσεις γαιών επί ενός τοίχου;

### 2. Που ασκούνται οι ενεργητικές και οι παθητικές ωθήσεις;

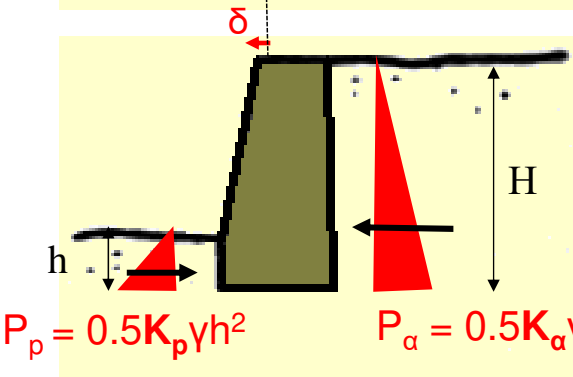


Αν ο τοίχος είναι αμετακίνητος ( $\delta=0$ ):

→ **ουδέτερες ωθήσεις**

(χρήση  $K_o$  = συντ. ουδέτερων ωθήσεων)

$$= 0.5K_o\gamma H^2$$



Αν ο τοίχος μετακινείται προς τα έξω κατά  $\delta$ :

→ **πίσω** από τοίχο:

**μείωση ώθησης** έως ενεργητική αστοχία

→ **μπροστά** από τοίχο:

**αύξηση ώθησης** έως παθητική αστοχία

### 3. Πόση είναι η αναγκαία $\delta$ για ενεργητική ή παθητική αστοχία;

## ΠΑΡΑΤΗΡΗΣΕΙΣ

**3a.** Πόση είναι η αναγκαία  $\delta$  για ενεργητική αστοχία;

Diagram showing a vertical column of height  $H$  under horizontal compression  $\delta < 0$ . The column is fixed at the bottom. A red dashed line at height  $z$  from the base indicates lateral displacement. A coordinate system  $(x, y)$  is shown with  $x$  horizontal and  $y$  vertical.

Τοιχος:

$$\varepsilon_y = -\alpha = \frac{1}{E} (\Delta \sigma_y - v(\Delta \sigma_z + \Delta \sigma_x)) = \frac{1}{E} (\Delta \sigma_y - v \Delta \sigma_x) \quad (a)$$

Επιπέδη παραμόρφωση:

$$\varepsilon_x = 0 = \frac{1}{E} (\Delta \sigma_x - v(\Delta \sigma_z + \Delta \sigma_y)) \Rightarrow \Delta \sigma_x = v \Delta \sigma_y \quad (b)$$

(a) και (b)  $\varepsilon_y = -\alpha = \frac{\Delta \sigma_y}{E} (1-v^2) < 0 \quad (g)$

Όμως  $\Delta \sigma_y = \sigma_{y,\text{τελ}} - \sigma_{y,\text{αρχ}} = K_a \sigma_v - K_o \sigma_v < 0 \quad (g)$

(g)  $\Rightarrow \varepsilon_{ha} = \varepsilon_y = -\alpha = \frac{\Delta \sigma_y}{E} (1-v^2) = \frac{\sigma_v}{E} (K_a - K_o) (1-v^2) \Rightarrow$

$\Rightarrow |\varepsilon_{ha}| = |\alpha| = \alpha = (K_o - K_a) \frac{\sigma_v}{E} (1-v^2)$

η.  $\times \cdot \sigma_v = \gamma z (= 18z)$

$\cdot E = \frac{1000}{m} \text{ Z (η. } \times E = 10 \text{ MPa} \text{ σε } z = 10 \text{ m)}$

$\cdot \varphi = 30^\circ \rightarrow K_o \approx 1 - \sin 30^\circ = 0.5$

$K_a = \tan^2(45 - \frac{30}{2}) = 1/3$

$\cdot v = 1/3$

$|\varepsilon_{ha}| = \alpha = (K_o - K_a) \frac{\gamma z (1-v^2)}{m Z} = 6 \text{ ταυτόρροφό με το βάθος}$

$|\varepsilon_{ha}| \approx 0.27\% \quad (\text{συνήθες εύρος } 0.2-0.5\%)$

ΠΡΟΣΕΓΓΙΣΤΙΚΑ:  $\varepsilon_h \approx \frac{\delta}{H}$ , η.  $\times \text{ για } H = 10 \text{ m} \rightarrow \delta_a \approx \frac{0.27}{100} H \approx 2.7 \text{ cm}$

## ΠΑΡΑΤΗΡΗΣΕΙΣ

**3b.** Πόση είναι η αναγκαία  $\delta$  για παθητική αστοχία;

Diagram showing a vertical column of height  $H$  under horizontal compression  $\delta > 0$ . The column is fixed at the bottom. A red dashed line at height  $z$  from the base indicates lateral displacement. A coordinate system  $(x, y)$  is shown with  $x$  horizontal and  $y$  vertical.

Τοιχος:

$$\varepsilon_y = \beta = \frac{1}{E} (\Delta \sigma_y - v(\Delta \sigma_z + \Delta \sigma_x)) = \frac{1}{E} (\Delta \sigma_y - v \Delta \sigma_x) \quad (a)$$

Επιπέδη παραμόρφωση:

$$\varepsilon_x = 0 = \frac{1}{E} (\Delta \sigma_x - v(\Delta \sigma_z + \Delta \sigma_y)) \Rightarrow \Delta \sigma_x = v \Delta \sigma_y \quad (b)$$

(a)  $\Rightarrow \varepsilon_y = \beta = \frac{\Delta \sigma_y}{E} (1-v^2) > 0 \quad (g)$

Όμως  $\Delta \sigma_y = \sigma_{y,\text{τελ}} - \sigma_{y,\text{αρχ}} = K_p \sigma_v - K_o \sigma_v > 0 \quad (g)$

(g)  $\Rightarrow \varepsilon_{hp} = \varepsilon_y = \beta = \frac{\Delta \sigma_y}{E} (1-v^2) = \frac{\sigma_v}{E} (K_p - K_o) (1-v^2) \Rightarrow$

$\Rightarrow \varepsilon_{hp} = \beta_p = (K_p - K_o) \frac{\sigma_v}{E} (1-v^2)$

η.  $\times \cdot \sigma_v = \gamma z (= 18z)$

$\cdot E = \frac{1000}{m} \text{ Z (= 1000 Z)}$

$\cdot \varphi = 30^\circ \rightarrow K_o \approx 1 - \sin 30^\circ = 0.5$

$K_p = 1/K_a = 3$

$\cdot v = 1/3$

$\varepsilon_{hp} = \beta_p = (K_p - K_o) \frac{\gamma z (1-v^2)}{m Z} = 6 \text{ ταυτόρροφό με το βάθος}$

$\varepsilon_{hp} \approx 4\% \quad (\text{συνήθες εύρος } 2-5\%)$

ΠΡΟΣΕΓΓΙΣΤΙΚΑ:  $\varepsilon_h \approx \frac{\delta}{H}$ , η.  $\times \text{ για } H = 10 \text{ m} \rightarrow \delta_p \approx \frac{4}{100} H \approx 40 \text{ cm}$

## ΠΑΡΑΤΗΡΗΣΕΙΣ

1. Πόσο μεγάλες είναι οι ωθήσεις γαιών επί ενός τοίχου;
2. Που ασκούνται οι ενεργητικές και οι παθητικές ωθήσεις;
3. Πόση είναι η αναγκαία  $\delta$  για ενεργητική ή παθητική αστοχία;

Από 3a

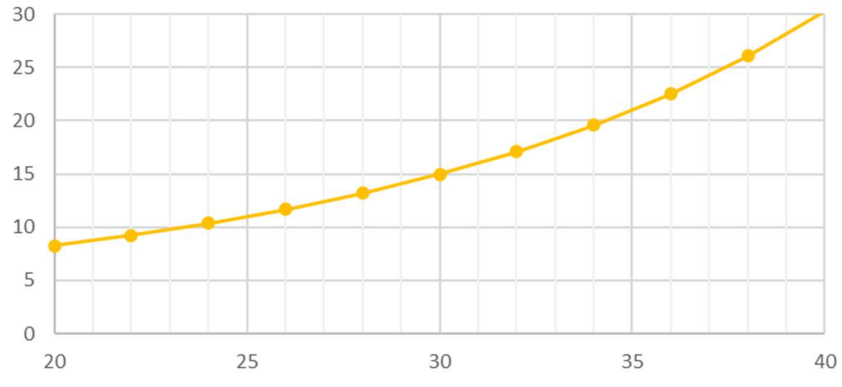
$$|\varepsilon_{ha}| = |-\alpha_a| = \alpha_a = (K_o - K_a) \frac{\sigma_v}{E} (1 - v^2)$$

Από 3b

$$\varepsilon_{hp} = \beta_p = (K_p - K_o) \frac{\sigma_v}{E} (1 - v^2)$$

Άρα:

$$\frac{\varepsilon_{hp}}{|\varepsilon_{ha}|} = \frac{(K_p - K_o)}{(K_o - K_a)}$$



Σύνηθες εύρος: 10 – 30 φορές

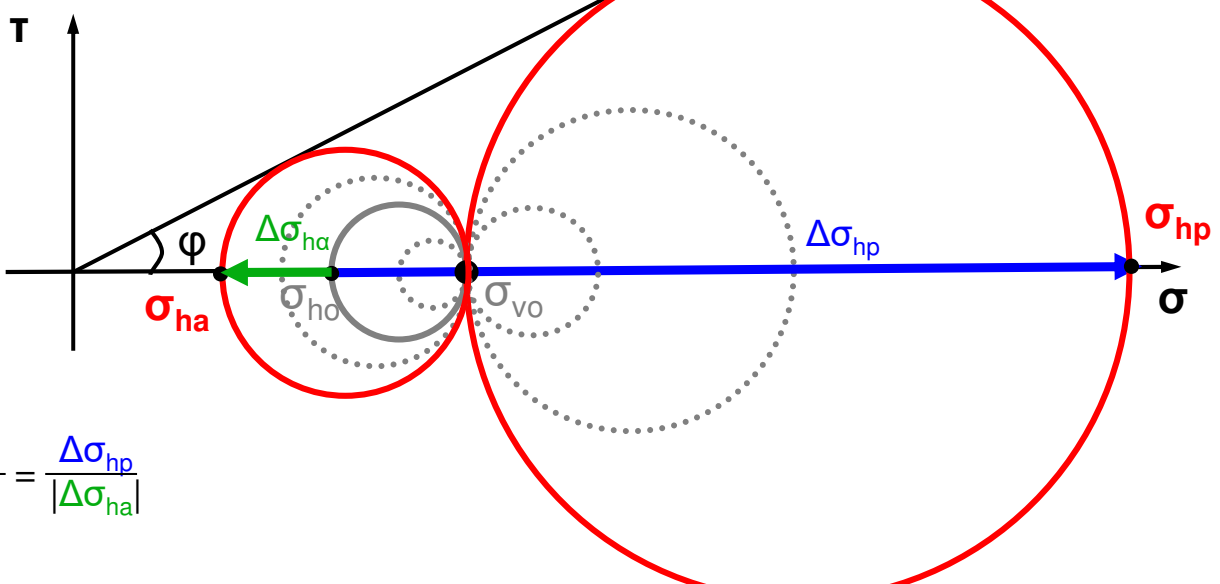
... μεγαλύτερη  $\delta_p$  ( $=\varepsilon_{hp}H$ ) από  $\delta_a$  ( $=|\varepsilon_{ha}|H$ )

## ΠΑΡΑΤΗΡΗΣΕΙΣ

1. Πόσο μεγάλες είναι οι ωθήσεις γαιών επί ενός τοίχου;
2. Που ασκούνται οι ενεργητικές και οι παθητικές ωθήσεις;
3. Πόση είναι η αναγκαία  $\delta$  για ενεργητική ή παθητική αστοχία;

$$\frac{\varepsilon_{hp}}{|\varepsilon_{ha}|} = \frac{(K_p - K_o)}{(K_o - K_a)} = 10 - 30$$

Γιατί τόσο μεγάλη διαφορά μεταξύ  $\varepsilon_{hp}$  και  $|\varepsilon_{ha}|$ ;



## ΠΑΡΑΤΗΡΗΣΕΙΣ

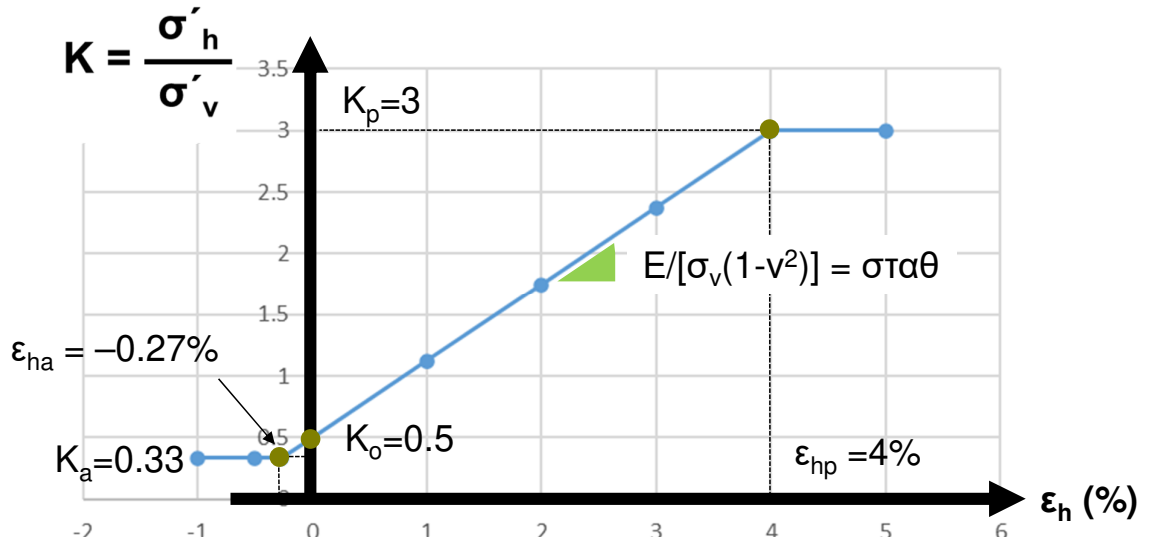
### 4. Πως συσχετίζεται η δ με τις ωθήσεις στον τοίχο;

π.χ.

$$\begin{aligned} E &= 1000 \text{z} \\ v &= 1/3 \\ \sigma_v &= 18 \text{z} \\ \varphi &= 30^\circ \end{aligned}$$

$$\begin{aligned} K_p &= 3 \\ K_o &= 0.5 \\ K_a &= 0.333 \end{aligned}$$

$$\begin{aligned} \varepsilon_{ha} &= -0.27\% \\ \varepsilon_{ho} &= 0 \\ \varepsilon_{hp} &= 4\% \end{aligned}$$



Θυμηθείτε:

$$|\varepsilon_{ha}| = |-\alpha_a| = \alpha_a = (K_o - K_a) \frac{\sigma_v}{E} (1 - v^2) \rightarrow (K_o - K_a)/|\varepsilon_{ha}| = E/[\sigma_v(1 - v^2)] = \text{σταθ}$$

$$\varepsilon_{hp} = \beta_p = (K_p - K_o) \frac{\sigma_v}{E} (1 - v^2) \rightarrow (K_p - K_o)/\varepsilon_{hp} = E/[\sigma_v(1 - v^2)] = \text{σταθ}$$

## ΠΑΡΑΤΗΡΗΣΕΙΣ

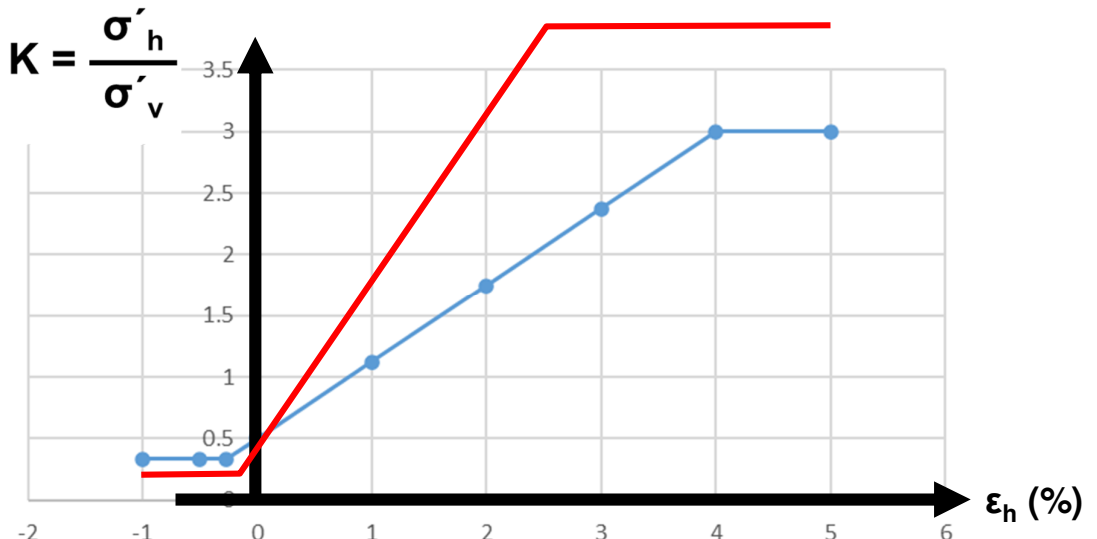
### 4. Πως συσχετίζεται η δ με τις ωθήσεις στον τοίχο; (συνέχεια)

π.χ.

$$\begin{aligned} E &= 1000 \text{z} \\ v &= 1/3 \\ \sigma_v &= 18 \text{z} \\ \varphi &= 30^\circ \end{aligned}$$

$$\begin{aligned} K_p &= 3 \\ K_o &= 0.5 \\ K_a &= 0.333 \end{aligned}$$

$$\begin{aligned} \varepsilon_{ha} &= -0.27\% \\ \varepsilon_{ho} &= 0 \\ \varepsilon_{hp} &= 4\% \end{aligned}$$



Θυμηθείτε:

$$|\varepsilon_{ha}| = (K_o - K_a) \frac{\sigma_v}{E} (1 - v^2)$$

$$\varepsilon_{hp} = (K_p - K_o) \frac{\sigma_v}{E} (1 - v^2)$$

Αύξηση σχετικής πυκνότητας  $D_r$ ;  
 → αύξηση  $\varphi$  →  $K_p \uparrow$  και  $K_o, K_a \downarrow$   
 → αύξηση  $E$

## ΠΑΡΑΤΗΡΗΣΕΙΣ

### 4. Πως συσχετίζεται η δ με τις ωθήσεις στον τοίχο; (συνέχεια)

π.χ.

$$E = 1000z$$

$$v = 1/3$$

$$\sigma_v = 18z$$

$$\varphi = 30^\circ$$

$$K_p = 3$$

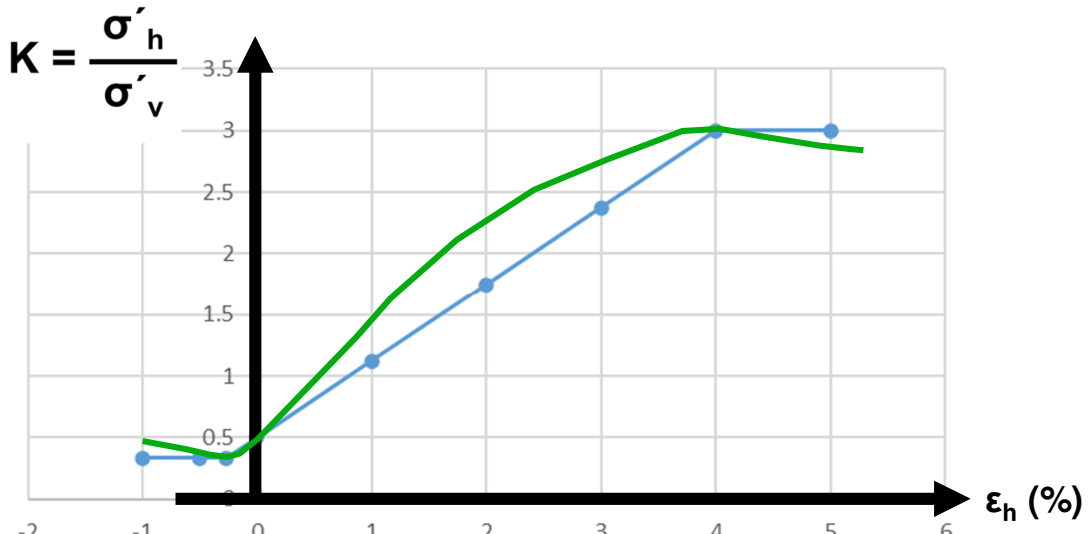
$$K_o = 0.5$$

$$K_a = 0.333$$

$$\varepsilon_{ha} = -0.27\%$$

$$\varepsilon_{ho} = 0$$

$$\varepsilon_{hp} = 4\%$$



Ρεαλιστική καμπύλη έναντι ελαστο-πλαστικής προσομοίωσης

Δεν είναι ίδιο το E για μετακίνηση τοίχου προς τα μέσα και προς τα έξω

Για  $\varepsilon_h = 1\%$  ...  $K = K_p/2$  (δηλ. για μικρή μετακίνηση τοίχου προς τα μέσα...  $K_p^* = K_p/FS$ )

Για πολύ χαλαρά εδάφη...  $\varepsilon_{hp}$  έως 15%

π.χ.  $FS = 2$

## ΠΑΡΑΤΗΡΗΣΕΙΣ

### 4. Πως συσχετίζεται η δ με τις ωθήσεις στον τοίχο; (συνέχεια)

π.χ.

$$E = 1000z$$

$$v = 1/3$$

$$\sigma_v = 18z$$

$$\varphi = 30^\circ$$

$$K_p = 3$$

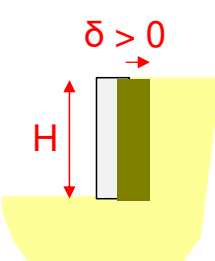
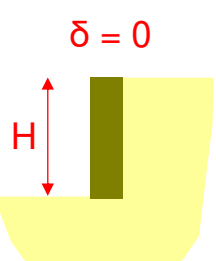
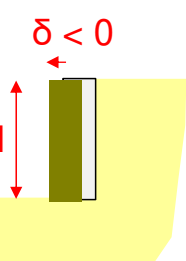
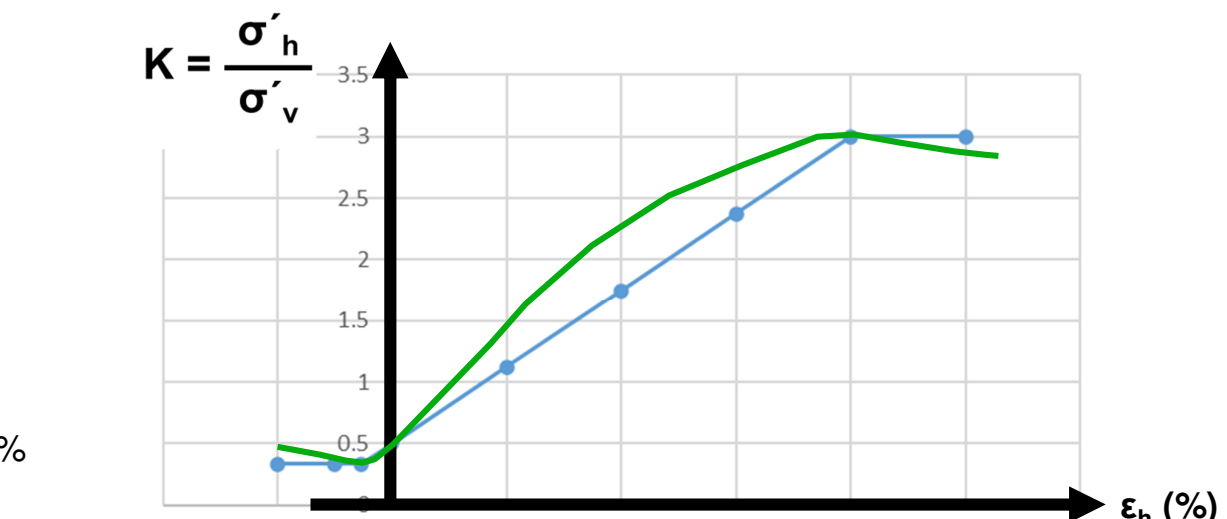
$$K_o = 0.5$$

$$K_a = 0.333$$

$$\varepsilon_{ha} = -0.27\%$$

$$\varepsilon_{ho} = 0$$

$$\varepsilon_{hp} = 4\%$$



ΠΡΟΣΕΓΓΙΣΤΙΚΑ

$$\varepsilon_h = \frac{\delta}{H}$$

π.χ.

για  $H = 10m$ :

$$\varepsilon_{ha} = -0.27\% \rightarrow \delta_a = -2.7cm$$

και

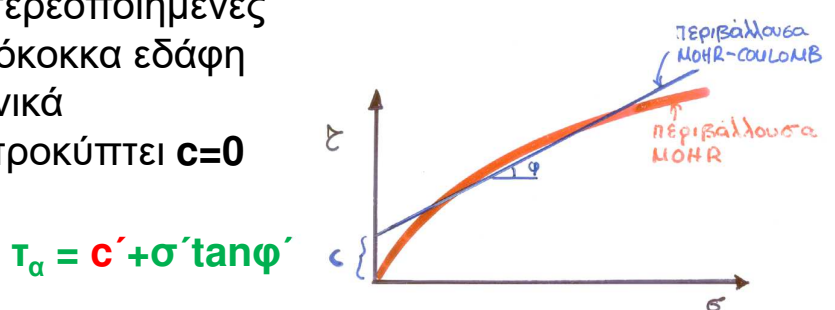
$$\varepsilon_{hp} = 4\% \rightarrow \delta_p = 40cm$$

## ΠΑΡΑΤΗΡΗΣΕΙΣ

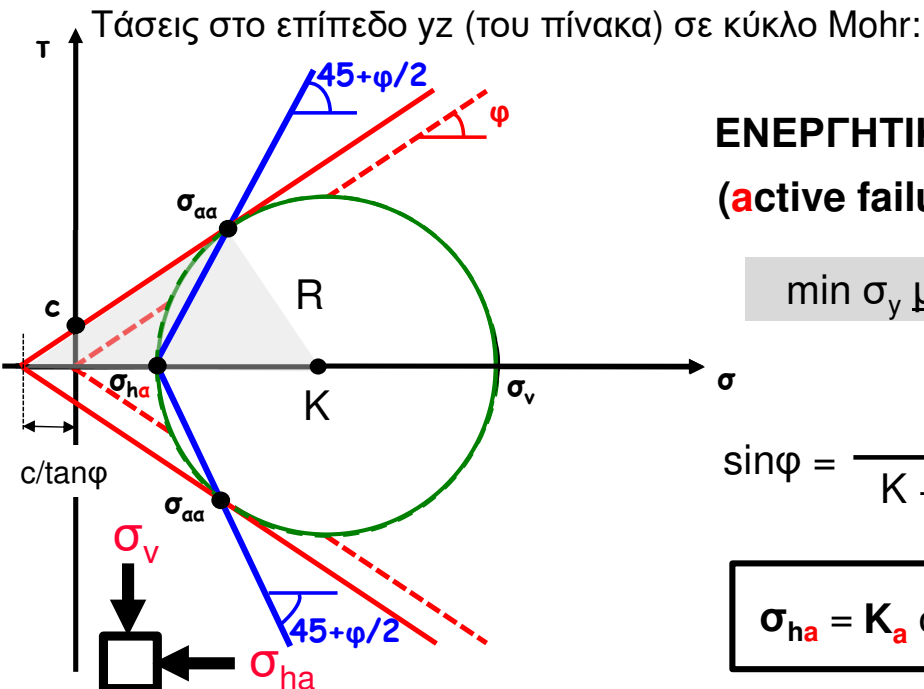
1. Πόσο μεγάλες είναι οι ωθήσεις γαιών επί ενός τοίχου;
2. Που ασκούνται οι ενεργητικές και οι παθητικές ωθήσεις;
3. Πόση είναι η αναγκαία δ για ενεργητική ή παθητική αστοχία;
4. Πως συσχετίζεται η δ με τις ωθήσεις στον τοίχο;
- 5. Τι αλλάζει στις ωθήσεις αν το έδαφος έχει συνοχή c;**

Υπενθυμίζεται ότι η πραγματική περιβάλλουσα Mohr κάποιων εδαφών είναι έντονα μη-γραμμική, και η συνοχή c προκύπτει από τη χρήση της **γραμμικής** περιβάλλουσας Mohr-Coulomb για την... προσέγγισή της!

Τέτοια εδάφη είναι οι υπερστερεοποιημένες άργιλοι, καθώς για τα χονδρόκοκκα εδάφη (άμμοι, χάλικες) και τις κανονικά στερεοποιημένες αργίλους προκύπτει  $c=0$



## Αν ο τοίχος υποχωρήσει λίγο σε έδαφος με $c \neq 0$



**ΕΝΕΡΓΗΤΙΚΗ ΑΣΤΟΧΙΑ** κατά Rankine

(active failure):  $\min \sigma_y = \sigma_{ha}$

$\min \sigma_y$  μικρότερη από όταν  $c=0$

$$\sin\phi = \frac{R}{K + c/\tan\phi} = \frac{(\sigma_v - \sigma_{ha})/2}{(\sigma_v + \sigma_{ha})/2} \rightarrow$$

$$\sigma_{ha} = K_a \sigma_v - 2c K_a^{1/2} < K_o \sigma_v$$

Φέρνω οριζόντια ευθεία από  $(\sigma_v, 0)$

όπου

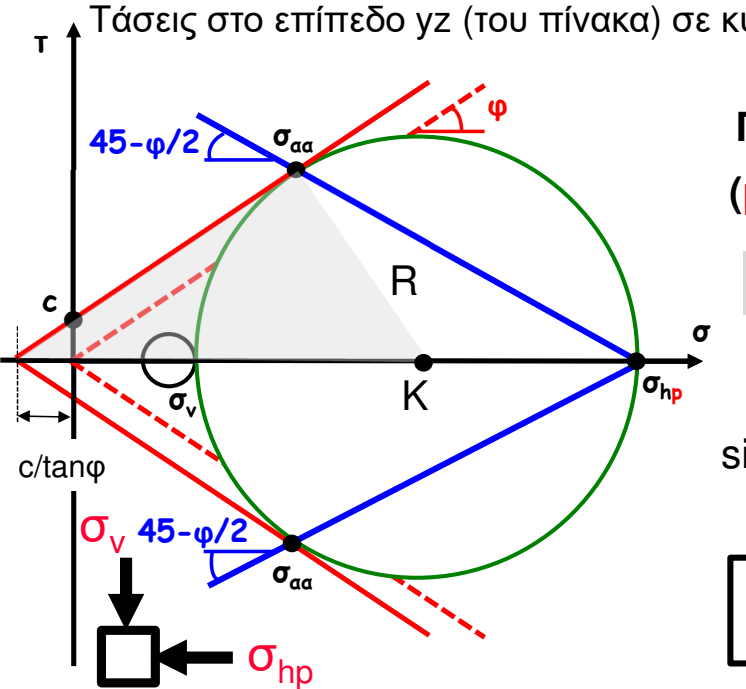
Πόλος  $O_p$  στο  $(\sigma_{ha}, 0)$

$$K_a = \frac{1-\sin\phi}{1+\sin\phi} = \tan^2(45-\phi/2)$$

Επίπεδα αστοχίας σε  $\theta = (45 + \phi/2)$   
ως προς την οριζόντια διεύθυνση

**ΠΡΟΣΟΧΗ:**  $K_a = \sigma'_{ha} / \sigma'_v \neq \sigma_{ha} / \sigma_v$ , π.χ.  $\phi'=30^\circ \rightarrow K_a = 0.33$  vs.  $K_o=0.5$

# Αν ο τοίχος προχωρήσει λίγο σε έδαφος με $c \neq 0$



Φέρνω οριζόντια ευθεία από  $(\sigma_v, 0)$

Πόλος  $O_p$  στο  $(\sigma_{hp}, 0)$

Επίπεδα αστοχίας σε  $\theta = (45 - \varphi/2)$   
ως προς την οριζόντια διεύθυνση

**ΠΡΟΣΟΧΗ:**  $K_p = \sigma'_{hp} / \sigma'_v \neq \sigma_{hp} / \sigma_v$ , π.χ.  $\varphi' = 30^\circ \rightarrow K_p = 3$  vs.  $K_o = 0.5$

**ΠΑΘΗΤΙΚΗ ΑΣΤΟΧΙΑ** κατά Rankine  
**(passive failure):**  $\max \sigma_y = \sigma_{hp}$

$\max \sigma_y$  μεγαλύτερη από όταν  $c=0$

$$\sin \varphi = \frac{R}{K + c/\tan \varphi} = \frac{(\sigma_{hp} - \sigma_v)/2}{(\sigma_{hp} + \sigma_v)/2} \rightarrow$$

$$\sigma_{hp} = K_p \sigma_v + 2c K_p^{1/2} \gg K_o \sigma_v$$

όπου

$$K_p = \frac{1 + \sin \varphi}{1 - \sin \varphi} = \frac{1}{K_a} = \tan^2 (45 + \varphi/2)$$

## ΠΑΡΑΤΗΡΗΣΕΙΣ

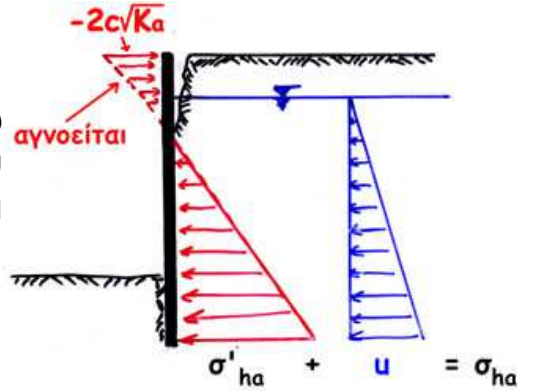
1. Πόσο μεγάλες είναι οι ωθήσεις γαιών επί ενός τοίχου;
2. Που ασκούνται οι ενεργητικές και οι παθητικές ωθήσεις;
3. Πόση είναι η αναγκαία δ για ενεργητική ή παθητική αστοχία;
4. Πως συσχετίζεται η δ με τις ωθήσεις στον τοίχο;
5. **Τι αλλάζει στις ωθήσεις αν το έδαφος έχει συνοχή  $c$ ;**

$$\sigma_{ha} = K_a \sigma_v - 2c K_a^{1/2} < K_o \sigma_v \quad \dots \text{μειώνονται λίγο οι ενεργητικές ωθήσεις}$$

$$\sigma_{hp} = K_p \sigma_v + 2c K_p^{1/2} \gg K_o \sigma_v \quad \dots \text{αυξάνουν πολύ οι παθητικές ωθήσεις}$$

Επιφανειακά, όταν  $K_a \sigma'_v < 2c \sqrt{K_a}$  ή  $\sigma'_v < 2c/\sqrt{K_a}$ , έχουμε αποκόλληση εδάφους από τον τοίχο, λόγω αδυναμίας εμφάνισης εφελκυστικών τάσεων επί του τοίχου (εντός του εδάφους αναπτύσσονται κανονικά).

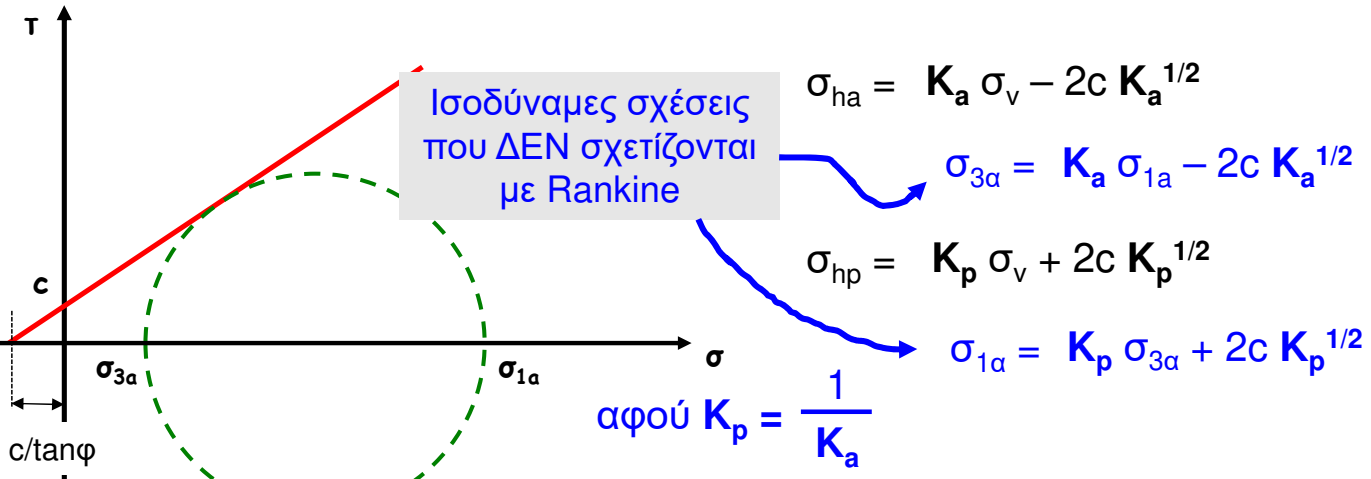
Οι ωθήσεις στο αποκολλημένο τμήμα (αρνητικές, κατά μήκος της ρωγμής) αγνοούνται!



## ΠΑΡΑΤΗΡΗΣΕΙΣ

1. Πόσο μεγάλες είναι οι ωθήσεις γαιών επί ενός τοίχου;
2. Που ασκούνται οι ενεργητικές και οι παθητικές ωθήσεις;
3. Πόση είναι η αναγκαία δ για ενεργητική ή παθητική αστοχία;
4. Πως συσχετίζεται η δ με τις ωθήσεις στον τοίχο;
5. Τι αλλάζει στις ωθήσεις αν το έδαφος έχει συνοχή c;

### 6. Αλληλο-συσχέτιση στη $\sigma_{1a}$ και $\sigma_{3a}$ με περιβάλλουσα M-C



### Rankine (1857): «στατική» μέθοδος - ΠΡΟΥΠΟΘΕΣΕΙΣ

